Sign BEYOND SIGN

0200HO12852 ASCEND x DELUXE x PURSUIT

SANDY-VALLEY MORGAN ERA

FOURTH DAM

GENOMAX A2A2

PROGENESIS ASCEND
PINE-TREE 8418 DELU 9104
C-HAVEN POSITIVE DELUXE
PINE-TREE 7593 PURS 8418 GP-84-2YR-USA DOM
PINE-TREE-I PURSUIT
PINE-TREE ERA ACHIE 7593 GP-82-3YR-USA DOM

GTPI 3245

TD TR TL TY MWT TV 99%-I HH1F HH2F HH3F HH4F HH5F HH6C HCDF HMWF

Num.Reg #: HOCANM14259589	aAa: 423651	DMS: 135,561
Nacimiento: 10/20/2022	Kappa Caseina: AB	Beta Caseina: A2A2

PRODUCCION G Rebaños G Hijas 81% Rep. CDCB-G / 04-25

Leche lbs **813**	Grasa lbs **110**	Grasa % **+0.28**	Proteína lbs **38**	Proteína % **+0.04**
NM$ **937**	CM$ **958**	FM$ **890**	GM$ **934**	DWP$ **826**
Eficiencia de Conversiòn **296**	IR **-35**	Comida Ahorrada **205**	Eficiencia Metano **105**	

SALUD Y REPRODUCCIÓN **Immunity 99**

Vida Productiva	**2.7**	Inmunidad crias	**94**
Células Somáticas	**2.92**	Tasa Preñez Vacas	**0.5**
Fertilidad de las Hijas	**-0.8**	Tasa Preñez Novillas	**1.2**
Durabilidad	**0.9**	Facilidad de Parto	**1.3%** 62% Rep.
Durabilidad Novillas	**-0.1**	Facilidad de Parto de las Hijas	**0.9%** 60% Rep.
Indice de Fertilidad	**0.3**	Crías del Toro que Nacen Muertas	**4.4%**
		Crías de las Hijas que Nacen Muertas	**3.4%**

TIPO G Rebaños G Hijas 79% Rep. HAUSA-G / 04-25

PTAT	**0.13**	Estruct. y Capacidad	**-1.04**
Compuesto Ubres	**-0.07**	Estruct. Lechera	**0.38**
Compuesto Patas	**0.09**		

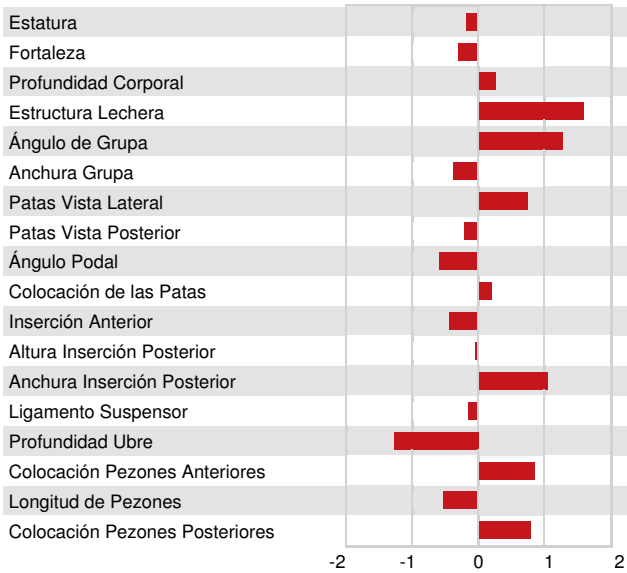

Estatura	Baja	**-0.16**
Fortaleza	Débil	**-0.30**
Profundidad Corporal	Profunda	**+0.27**
Estructura Lechera	Cost. Abierta	**+1.59**
Ángulo de Grupa	Isq. Bajos	**+1.27**
Anchura Grupa	Estrecha	**-0.38**
Patas Vista Lateral	Curvas	**+0.77**
Patas Vista Posterior	Cerradas	**-0.21**
Ángulo Podal	Bajo	**-0.60**
Colocación de las Patas	Correcta	**+0.20**
Inserción Anterior	Débil	**-0.44**
Altura Inserción Posterior	Baja	**-0.01**
Anchura Inserción Posterior	Ancha	**+1.03**
Ligamento Suspensor	Débil	**-0.12**
Profundidad Ubre	Profunda	**-1.26**
Colocación Pezones Anteriores	Cerrados	**+0.85**
Longitud de Pezones	Cortos	**-0.52**
Colocación Pezones Posteriores	Cerrados	**+0.79**